

بررسی تاثیر استفاده از گرافن اکسید کاہش یافته در بهبود عملکرد چارچوب فلزی آلی مس به عنوان الکتروکاتالیست برای واکنش کاہش اکسیژن در پیلهای سوختی

مهدی مهرپویا<sup>۲</sup>\* و سید علی موسوی<sup>۱</sup>

<sup>۱۰</sup> دانشیار، دانشکده علوم و فنون، نویسنده، دانشگاه تهران، تهران، ایران.

<sup>۲</sup>. دانشجوی، دکتری، مهندسی، سستم‌های انرژی، دانشکده علوم و فنون، نوبن، دانشگاه تهران، تهران، ایران.

در بافت: آذ ۹۸ بازنگی: مداد ۹۹ بذرش: مه ۹۹

حکیمہ

هدف اصلی این پژوهش، ساخت و ارایه الکتروکاتالیست‌هایی غیرفلزی با عملکردی مطلوب برای به کارگیری در کاتد پیل‌های سوختی است. به همین منظور، ۵ الکتروکاتالیست شامل، گرافن اکسید (GO)، گرافن اکسید عامل دارشده با نیتروژن و گوگرد (NS) -RGO، چارچوب فلزی آلی مس (Cu-MOF)، GO-Cu- MOF و NS-RGO-Cu- MOF با روش‌های آب ۸٪ با NS-RGO-Cu- MOF (Cu-MOF)، گرمایی تهیه شدند. در ادامه، عملکرد، فعالیت و ساختار الکتروکاتالیست‌های تهیه شده با آزمایش‌های الکتروشیمیایی و فیزیکی مورد بررسی قرار گرفت و با الکتروکاتالیست تجاری Pt/C ۲۰٪ مقایسه شد. برپایه نتیجه‌های بدست آمده، ساختار الکتروکاتالیست‌ها یکنواخت است و لایه نشانی‌های موردنظر به درستی انجام شده است. همچنین، برپایه تحلیل ریخت‌شناسی الکتروکاتالیست‌ها، اندازه ذرات در گستره نانومتر است. الکتروکاتالیست NS-RGO-Cu- MOF ۸٪ بهترین فعالیت الکتروشیمیایی را داشت، که پتانسیل آغاز آن در مقابل Ag/AgCl ۰,۰۶ V- محسوبه شد. پیک مربوط به واکنش کاهش اکسیژن در ولتاژ ۷ V- نمایان شد که چگالی جریان در این ولتاژ،  $۰,۰۸\text{ mA/cm}^2$ - بود. مقدار الکترون منتقل شده با این الکتروکاتالیست  $۳,۵۳\text{ mC}$ - محاسبه شد که نشان می‌دهد به مسیر چهار الکترونی برای واکنش کاهش اکسیژن بسیار نزدیک است. همچنین، پتانسیل آغاز محاسبه شد که نشان می‌دهد به مسیر چهار الکترونی برای واکنش کاهش اکسیژن بسیار نزدیک است. همچنین، پتانسیل آغاز الکتروکاتالیست GO-Cu- MOF ۶٪ با بدست آمد.

**كلمات كليدي:** سيل سوخته، واكنش احیای اکسیژن، الکتروکاتالیست، چارچوب فلزی آلی، پایه غیرفلزی

مقدمة

**مقدمه**  $\text{NO}_x$  و  $\text{CO}_2$ ) بسیار ناچیز و یا در حد صفر هستند [۱]. پیل سوختی، یک تجهیز الکتروشیمیایی است که انرژی شیمیایی سوخت ورودی را به انرژی الکتریکی تبدیل می‌کند. برق تولیدشده با پیل‌های سوختی، به صورت مستقیم (DC) است یکی از مهم‌ترین و کاربردی‌ترین سامانه‌های تجدیدپذیر، پیل‌های سوختی است. پیل‌های سوختی از نظر انتشار گاز‌های، گلخانه‌ای، و آلانیده‌های، دیگر (برای، مثاً،  $\text{SO}_x$ )

پژوهش‌های رسمی و حرفه‌ای بر MOF‌ها برای واکنش احیا اکسیژن از سال ۲۰۱۱ میلادی با کار شنگیان و همکارانش آغاز شد [۹]. آن‌ها از یون فلزی کجالت برای تهییه چارچوب  $\text{Co}-\text{N}_4$  استفاده کردند. در ادامه، برای افزایش فعالیت الکتروکاتالیست از عملیات تفکافت در دماهای متفاوت استفاده شد. برپایه نتایج به دست آمده، دمای بهینه برای عملیات تفکافت،  $75^{\circ}\text{C}$  بود و در این شرایط، پتانسیل آغاز<sup>۳</sup> و تعداد الکترون منتقل شده<sup>۴</sup> (n) به ترتیب  $0.77$  و  $7/3$  در مقابل RHE به دست آمد. همان‌طور که مشخص است، پیش از عملیات تفکافت، هر یون فلزی  $\text{Co}^{2+}$ ، در همسایگی چهار اتم نیتروژن قرار دارد. پس از عملیات تفکافت، تعداد قابل توجهی از یون‌های فلزی  $\text{Co}^{2+}$  از بین رفتند. می‌توان نتیجه گرفت که با کاهش غلظت یون‌های کجالت، تعدادی از پیوندهای غیرضروری از بین می‌رود و فعالیت جرمی و سطح ویژه افزایش می‌باید که موجب بهبود عملکرد الکتروکاتالیست می‌شود. در پژوهشی دیگر، ZIF-8<sup>۵</sup> که یون فلزی آن  $\text{Fe}^{2+}$  بود، برای الکتروکاتالیست واکنش (ORR) به کارگرفته شد [۱۰]. این کاتالیست بخش کاتد مورد آزمایش قرار گرفت. چگالی توان در ولتاژ  $V = 0.75 \text{ W/cm}^2$  گزارش شد، که نشان می‌دهد جایگزین خوبی برای الکتروکاتالیست پلاتین است. MOF با یون فلزی آهن برای ORR در یک الکتروولت قلیایی ساخته شد [۱۱]. برپایه آزمون الکتروشیمیایی با این کاتالیست، ORR با مسیر چهار الکترون رخ می‌دهد. همچنین، پتانسیل شروع به  $-0.12 \text{ V}$  و لولت در مقابل  $\text{Ag}/\text{AgCl}$  محاسبه و مشخص شد که MOF‌ها می‌توانند مسیری تازه برای ساخت کاتالیست‌ها با هزینه کم و بازده بالا باز کنند.

[۲]. همچنین، فراورده‌های جانبی پیل‌های سوختی، گرما و آب است. پیل‌های سوختی از جمله منابع تولید الکتریسته کارآمد و غیرآلینده به حساب می‌آیند که چگالی انرژی و بازده انرژی بسیار بالاتری را در مقایسه با سایر سامانه‌های انرژی متدائل کنونی تولید می‌کنند [۳]. یک پیل سوختی از سه بخش اصلی کاتد، آند و الکتروولت تشکیل شده است. از کاربردهای مهم پیل‌های سوختی می‌توان به سامانه‌های حمل و نقل، تأمین توان دستگاه‌های الکترونیکی، تولید انرژی الکتریکی ساختمان‌ها و نیروگاه‌ها، تجهیزات قابل حمل (مانند موبایل) و بیمارستان‌ها اشاره کرد [۴ و ۵].

در طی دو دهه گذشته، چارچوب‌های فلزی آلی (MOF)<sup>۶</sup> که به عنوان بسپارهای کوئوردیناسیونی متخلخل نیز شناخته می‌شوند، توجه گسترده علمی را به خود معطوف کرده است. MOF‌ها از دو جزء یون‌های فلزی و لیگاندهای آلی تشکیل شده‌اند که با پیوندهای کوئوردیناسیونی به هم متصل شده‌اند [۶]. لیگاندهای آلی موجب پیوند بین یون‌های فلزی می‌شوند و عامل اصلی برای شکل‌گیری ساختار سه بعدی در چارچوب‌های فلزی آلی هستند [۷]. مزایای بر جسته MOF‌ها شامل سطح ویژه بالا، چگالی پایین، ظرفیت جذبی بالا، ساختار متخلخل، پایداری گرمایی و مکانیکی بالا و تهییه آسان است [۸]. MOF‌ها به دلیل ساختار بلوری و سه بعدی خود، رسانایی الکترونی قابل قبول ندارند. رسانایی الکتریکی بالا یکی از پایه‌ای‌ترین و مهم‌ترین ویژگی برای هر الکتروکاتالیستی است که در پیل‌های سوختی مورد استفاده قرار می‌گیرد. به عبارت دیگر، کم بودن رسانایی الکتریکی MOF، به کارگیری آن‌ها به عنوان کاتالیست را محدود کرده است. بنابراین، برای افزایش رسانایی الکتریکی MOF، مواد مبتنی بر کربن مانند نانولوله کربنی (CNT) و گرافن اکسید (GO) با MOF ترکیب می‌شوند.

1. Metal organic framework

2. Onset potential

3. Electron transferred number

4. Zeolitic Imidazolate Framework

5. Oxygen reduction reaction

سینتیک الکتروکاتالیست‌های تهیه شده به ترتیب با آزمون‌های فیزیکی و الکتروشیمیایی ارزیابی شدند. آزمایش‌های الکتروشیمیایی در محیط‌های قلیایی انجام شد. سرانجام، فعالیت ORR الکتروکاتالیست‌های تهیه شده با کاتالیست ۲۰ درصد وزنی Pt/C مقایسه شد. در حقیقت، تمرکز اصلی این پژوهش، تهیه یک الکتروکاتالیست جدید با یک روش آب-گرمایی ساده است که می‌تواند یک جایگزین مناسب و مقرون به صرفه برای پلاتین برای کاربردهای ORR باشد.

### بخش تجربی

در این پژوهش تلاش شد که با ارائه و ساخت پنج الکتروکاتالیست غیر فلزی، وابستگی پیل‌های سوتختی به کاتالیست‌های گران‌قیمت و کمیاب فلزی مانند پلاتین کاهش داده شود. از آنجایی که سطح گرافن اکسید خنثی است، با بهبود ویژگی‌های سطحی نانوصفحه‌های گرافن اکسید با دو روش متفاوت شامل کاهش گروه‌های عاملی اکسیژن‌دار با کاهش سطحی و عامل‌دارکردن با اتم‌های نیتروژن و گوگرد، ابتدا ویژگی‌های الکتروکاتالیستی گرافن ارتقاء داده شد. در ادامه، با ترکیب گرافن اکسید و گرافن اکسید عامل‌دارشده با چارچوب فلزی آلوی Cu-MOF به منظور بهره‌گیری از خواص مطلوب چارچوب‌های فلزی آلوی از جمله نسبت سطح به حجم و تخلخل بالا، عملکرد و فعالیت الکتروکاتالیست‌ها تا حد قابل قبولی بهبود یافت. روش ساخت هریک از الکتروکاتالیست‌ها در این بخش تشریح می‌شود.

ساخت الکتروکاتالیست گرافن اکسید به روش اصلاح شده هامر<sup>۱</sup>

در این روش، ۰/۵ گرم پودر گرافیت (مرک) به همراه ۲۳ میلی‌لیتر سولفوریک اسید در یک بشر ۲۵۰ میلی‌لیتری ریخته و به مدت یک ساعت درون حمام آب و یخ، روی

الکتروکاتالیست ترکیبی Co-OBA و کربن سیاه ساخت شد و از دیدگاه ریخت‌شناختی و فعالیت مورد ارزیابی قرار دادند. بنزوئیک اسید به عنوان لیگاندهای آلوی استفاده شد. نتیجه‌ها نشان داد که کاتالیست تهیه شده ماندگاری مناسب در محیط قلیایی است [۱۲].

در پژوهشی دیگر، مخلوطی از فلزها با MOF که لیگاندهای آلوی آن تریسمیک اسید بود، ساخته (Fe/Co-(MOF) و برای باتری‌های لیتیم‌هوا برای ORR معرفی شد. پتانسیل شروع و تعداد الکترون منتقل شده (n) به ترتیب ۰-۰/۱۳ و ۳ بود [۱۳].

ماو و همکارانش از چارچوب فلزی BTC-Cu (BTC=1,3,5-tricarboxylate) (BTC=1,3,5-tricarboxylate) به عنوان کاتالیست کاتند یک پیل سوتختی استفاده و عملکرد آن را با آزمایش‌های الکتروشیمیایی بررسی کردند [۱۴]. برایه نتیجه‌های بدست آمده، پتانسیل آغاز این کاتالیست در حدود ۰/۲۳ ولت نسبت به اکترود مرتعش Ag/AgCl بود. همچنین، تعداد الکترون منتقل شده، ۳/۸ محاسبه شد که نشان می‌دهد این کاتالیست می‌تواند جایگزین مناسبی برای کاتالیست‌های پلاتینی باشد. در پژوهشی دیگر، سانگ و همکارانش [۱۵] عملکرد (Fe) MOF را برای باتری‌های لیتیمی-هوا در محیط قلیایی بررسی کردند. برایه پژوهش آن‌ها، پیک مربوط به واکنش ORR در ولتاژ ۰/۲۸ ولت و در چگالی جریان ۷/۳ mA/cm<sup>2</sup>- مشاهده شد.

در پژوهش حاضر، برای نخستین بار، به منظور بهبود رسانایی الکتریکی Cu-MOF با این نوع از MOF ترکیب شد. بدین منظور، GO با روش اصلاح شده هامر ساخته شد. در مرحله بعد، GO تهیه شده با تیوره کاهش یافته و N و S بر صفحه‌های گرافن اکسید دوپه شدند (NS-RGO). در ادامه، غلاظت‌های متفاوت (X %) به ساختار MOF افزوده شد تا پودر کاتالیست نهایی (X %) NS-RGO-Cu-MOF تولید شود. الکتروکاتالیست‌ها برای استفاده در ORR سمت کاتند ساخته شدند. ریخت‌شناختی و

1. Modified Hommer method

ساخت چارچوب فلزی آلی مس (*Cu-MOF*) پودر کاتالیست *Cu-MOF* به روش آب گرمایی تهیه شد. در این روش، ۰.۷۴ گرم  $\text{CuH}_6\text{N}_2\text{O}_9$ ، ۰.۶۸ گرم بنزوییک کربوکسیلیک اسید ( $\text{C}_8\text{H}_6\text{O}_4$ ) و ۰.۴۸ گرم دابکو ( $\text{C}_6\text{H}_{12}\text{N}_2$ ) به همراه ۱۵۰ میلی لیتر دی متیل فرم آمید (DMF)، در یک بشر ۲۵۰ میلی لیتری مخلوط شدن. برای تشکیل یک تعليقه پایدار، مخلوط MOF با حمام فراصوت، همگن شد. در ادامه، مخلوط همگن شده به داخل یک دستگاه دم فشار  $50^\circ$  میلی لیتری منتقل و به مدت  $36$  ساعت در دمای  $120^\circ$  گرماده شد. در مرحله پایانی، فراورده چندین بار با دی متیل فرم آمید شسته شد. پس از فرایند شست و شو، مخلوط به دست آمده، برای خشک شدن پایانی در یک آون تحت خلاً قرارداده شد. در بیشتر پژوهش های صورت گرفته بر *MOF* ها به عنوان کاتالیست در بخش کاتد یا آند یک پل سوختی، از عملیات تف کافت (تجزیه گرمایی)، به عنوان مرحله پایانی ساخت الکترو کاتالیست استفاده شد [۱۶]. دمای تف کافت در  $600^\circ$  تا  $1000^\circ$  بود [۱۷]. تف کافت کردن موجب پخش یکنواخت مکان های فعال بر ساختار متخلخل می شود. به عبارتی دیگر، موجب افزایش چگالی مکان های فعال و درنتیجه بهبود عملکرد الکترو شیمیایی کاتالیست می شود. در واقع، تف کافت کردن موجب افزایش استحکام و ثبات ساختار کاتالیست می شود [۱۸].

سنتر الکترو کاتالیست های *NS-RGO*- *GO-Cu-MOF* و *Cu-MOF* برای ساخت الکترو کاتالیست های نهایی، همانند ساخت *Cu-MOF* عمل شد، فقط در مرحله افزودن مواد جامد به حلال DMF، درصد های وزنی X از کل مواد جامد، گرافن اکسید (GO) و گرافن اکسید عامل دار شده با نیتروژن و گوگرد (NS-RGO) افزوده می شود. پودر

همزن قرارداده شد. هنگامی که محلول به دمای پایین رسید به نسبت  $1:1$  سدیم نیترات ( $\text{NaNO}_3$ )  $0.5$  گرم به محلول افزوده و  $20^\circ$  دقیقه هم زده شد. سپس، بشر در حمام آب و اتیلن گلایکل قرار گرفت و در دمای  $35^\circ$  تا  $40^\circ$  هم زده شد. در گام بعدی،  $40^\circ$  میلی لیتر آب به محلول افزوده و به مدت  $30^\circ$  دقیقه در دمای  $85^\circ$  تا  $90^\circ$  هم زده شد. در ادامه، برای رقیق کردن محلول،  $100$  میلی لیتر آب DI افزوده شد. در مرحله پایانی این فرایند، آب اکسیژن به محلول افزوده شد. محلول نهایی به رنگ قهوه ای متمایل به پر تقالی بود. در انتهای، محلول به دست آمده با آب و اسید شسته شده و برای دستیابی به پودر کاتالیست، در آون خلاً خشک شد.

فرایند کاهش گرافن اکسید و عامل دار کردن دو گانه با نیتروژن و گوگرد روشن آب گرمایی برای دوپه کردن دو گانه (عامل دار کردن) و به طور همزمان کاهش گرافن اکسید به کار گرفته شد. در این روش، ابتدا  $50$  میلی گرم GO در  $50^\circ$  میلی لیتر از EG قرار گرفت و با فراصوت به مدت یک ساعت و نیم پراکنده شد، تا به یک مخلوط یکنواخت برسد. سپس  $10:1$  تیوره ( $500$  میلی گرم) در  $78$  میلی لیتر EG حل شد و به محلول GO افزوده شد. برای همگن شدن کامل، محلول به دست آمده در دستگاه حمام فراصوت یا فراصوت کاوند دار قرارداده شد. در مرحله پایانی، محلول همگن به دست آمده به درون یک بالن ته گرد دو دهانه انتقال داده شد. با قراردادن یک عدد آهنربا در داخل بالن و اتصال لوله بازروانی به دهانه بالایی بالن، سامانه در داخل یک ظرف از جنس روی حاوی روغن سیلیکونی (به عنوان حمام) برای عملیات گرمادهی قرارداده شد. سپس به مدت  $5$  ساعت و در دمای  $180^\circ$  عملیات گرمادهی انجام شد. در مرحله پایانی، محلول به دست آمده شسته و در آون خلاً خشک شد.

#### 1. Probe

سال پانزدهم، شماره ۱، بهار ۱۴۰۰

#### 2. Autoclave

نشریه پژوهش های کاربردی در شیمی (JARC)

می‌شوند. در این آزمون‌ها پتانسیل با یک گام ثابت تغییر داده می‌شود و شدت جریان به دست آمده ثبت می‌شود. برای انجام چنین آزمایشی حداقل نیاز به ۲ الکترود است، الکترود کار<sup>۲</sup> که در ارتباط با ماده تحت آزمون است و وظیفه آن، کنترل پتانسیل موردنظر و انتقال بار از کاتالیست موردمطالعه است. در واقع، الکتروکاتالیست موردنظر بر این الکترود لایه‌نشانی می‌شود. الکترود دوم که نقش نیمه دیگر پیل را دارد و به الکترود کانتر معروف است، باید پتانسیل شناخته‌شده‌ای برای سنجش پتانسیل الکترود کار داشته باشد.

قطر الکترود کار که جوهر کاتالیست بر آن لایه نشانی شد، ۲ میلی‌متر بود. جوهر کاتالیست<sup>۳</sup>‌های تهیه شده با تحت فرآصوت قراردادن ۲ میلی‌گرم پودر کاتالیست در ۱ میلی‌لیتر آب و الكل (۱:۱) و ۱۰ میکرولیتر نفیون ۵٪ وزنی به مدت ۱ ساعت، تهیه شد [۲۰]. سپس، مقدار ۵ میکرولیتر از جوهر کاتالیست بر الکترود کار، با سرنگ جی‌سی چکانده شد. در این پژوهش، آزمایش‌های آمپرولت‌سنجدی ۳ الکترودی برای اندازه‌گیری و به دست آوردن نمودارهای آمپرولت‌سنجدی چرخه‌ای<sup>۴</sup> (CV)، ولتاکتری روشی خطی<sup>۵</sup> (LSV) و آزمون آمپرزمان‌سنجدی<sup>۶</sup> به کار گرفته شد.

#### آمپرولت‌سنجدی چرخه‌ای (CV)

CV گونه‌ای از اندازه‌گیری‌های دینامیک الکتروشیمیایی، با هدف مطالعه ویژگی الکتروشیمیایی ماده مورد آزمون است. این آزمایش به منظور اثبات فعالیت کاتالیستی برای واکنش کاهش اکسیژن، هر پیک در این آزمایش، نشان‌دهنده وقوع یک واکنش الکتروشیمیایی است. در نتیجه، کاتالیست موردنظر باید در حضور اکسیژن (دمیدن گاز اکسیژن)، پیک مربوط به واکنش ORR را نشان دهد. در ابتدای این آزمایش، محیط با گاز نیتروژن از اکسیژن خالی

X % GO-Cu-MOF و X % NS-RGO-Cu-MOF وزنی مواد جامد چارچوب فلزی آلی است که گرافن اکسید و گرافن اکسید کاهش‌یافته به آن افزوده شده است. برایه پژوهش‌های پیشین [۱] که درصدهای وزنی ۶٪ و ۸٪ بیشتر استفاده شد، همین درصدهای وزنی برای GO و NS-RGO به کار گرفته شد. در پایان، پودر الکتروکاتالیست MOF ۷۵۰ °C تحت گاز بی‌اثر نیتروژن، عملیات تف کافت انجام شد.

#### تعیین ویژگی‌های نمونه‌ها

برای تعیین ویژگی‌های فیزیکی، ساختار و نیز ریخت‌شناسی الکتروکاتالیست‌های تهیه شده برای واکنش کاهش اکسیژن، روش‌های پراش پرتو ایکس (XRD) برای تعیین ساختار بلوری و اندازه نانوذره‌ها، میکروسکوپ الکترونی پویشی نشر میدانی (FESEM)<sup>۱</sup> برای مشخص شدن تغییرها در ساختار فیزیکی و ریخت الکتروکاتالیست‌ها و FTIR برای بررسی پیوندهای تشکیل شده بین اتم‌ها به کار گرفته شد.

#### آزمایش‌های الکتروشیمیایی

هدف از انجام آزمایش‌های الکتروشیمیایی به دست آوردن اطلاعات مهمی از عملکرد و سینتیک کاتالیست و برخی از ویژگی‌های مهم آن در واکنش ORR است. در ادامه، به معرفی آزمایش‌های متفاوت الکتروشیمیایی پرداخته می‌شود. آمپرولت‌سنجدی گونه‌ای از آزمون‌های الکتروشیمیایی است که برای بررسی عملکرد الکتروکاتالیست، بسیار مورداستفاده قرار می‌گیرد. در این روش برای سنجش عملکرد ماده موردمطالعه، آن را در یک نیم‌پیل قرار داده و شدت جریان را به عنوان تابعی از ولتاژ به دست می‌آوریم. نمودارهای به دست آمده، نمودارهای آمپرولت‌سنجدی نامیده

- 1. Field emission scanning electron microscope
- 4. Cyclic voltammetry

- 2. Working electrode
- 5. Linear sweep voltammetry

- 3. Catalytic ink
- 6. Chronoamperometry

### آمپرزمان سنجی

برای بررسی پایداری کاتالیست‌های تهیه شده، از آزمون آمپرزمان سنجی استفاده شد. در این آزمون الکتروودها در محلول ۰/۵ مولار KOH، به عنوان الکتروولت قرار می‌گیرند و از گاز نیتروژن برای خروج اکسیژن از محیط استفاده می‌شود. سپس یک ولتاژ ثابت در حدود ولتاژ پیک که در آزمون CV به دست آمده است، برای الکتروودها اعمال و جریان عبوری ثبت می‌شود. در پایان، نمودار تغییر شدت جریان بر حسب زمان رسم می‌شود. در این پژوهش، با اعمال ولتاژ ثابت  $V = 0.4$  به مدت ۱۰۰۰ ثانیه، جریان تولیدی در سطح کاتالیست اندازه گیری شد. سپس نمودار چگالی جریان بر حسب زمان ( $J-t$ ) رسم و پایداری جریان تولیدی با الکتروکاتالیست‌ها، بررسی شد.

### تعداد الکترون منتقل شده<sup>۳</sup> ( $n$ )

همان‌طور که پیش‌ازین بیان شد، برای انجام واکنش الکتروشیمیایی کاهش اکسیژن، دو مسیر ۲ الکترونی و ۴ الکترونی وجود دارد که همواره در پژوهش‌ها سعی بر ساخت الکتروکاتالیست‌هایی است که واکنش کاهش اکسیژن بر آن‌ها از راه ۴ الکترونی صورت پذیرد. برای بررسی تمايل هر الکتروکاتالیست به مسیر ۴ الکترونی یا ۲ الکترونی برای واکنش کاهش اکسیژن، از روش<sup>۴</sup> KL استفاده شد. در این روش، با توجه به نمودارهای LSV به دست آمده، به طور انتخابی چند ولتاژ که در گستره فعالیت آن الکتروکاتالیست قرار دارند، انتخاب می‌شوند. در ادامه، مقدار چگالی جریان در سرعت‌های متفاوت قرائت و معکوس آن‌ها گزارش می‌شود. در پایان، نمودار معکوس چگالی جریان ( $1/J$ )، بر حسب معکوس مجدور سرعت زاویه‌ای ( $\theta/J$ ) رسم می‌شود. نمودارهای درجه اولی به دست می‌آید که شب آن خطوط (B) تابعی از تعداد الکترون منتقل شده ( $n$ ) است [۲۱]. تعداد

شد. پس از اعمال ولتاژ، هیچ‌گونه پیکی که نشان‌دهنده واکنش کاهش اکسیژن باشد، نباید مشاهده شود. چنین حالی نشان‌دهنده این است که الکتروکاتالیست موردنظر ویژگی انتخاب‌پذیری دارد و فقط در حضور اکسیژن شروع به فعالیت می‌کند. آزمایش آمپرولت سنجی چرخه‌ای در الکتروولت اشباع شده با گازهای  $N_2$  و  $O_2$ ، در گستره ولتاژ  $-0.2$  تا  $0.2$  با سرعت روبش<sup>۱</sup>  $100 \text{ mv.s}^{-1}$  انجام شد.

### آمپرولت سنجی رویشی خطی (LSV)

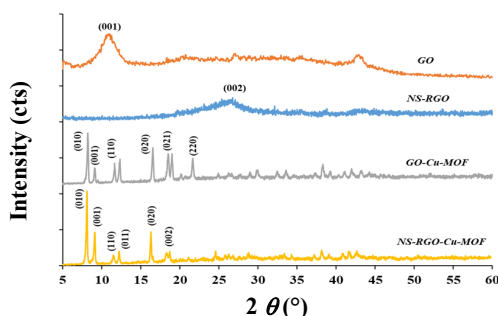
LSV گونه‌ای از روش‌های آمپرولت سنجی است که در آن جریان عبوری از الکترود کار، در حالی که پتانسیل بین الکترود کار و الکترود شاهد به صورت خطی با زمان تغییر داده می‌شود، سنجیده می‌شود. در این روش پتانسیل در بازه  $0.2$  تا  $1 \text{ V}$  و با سرعت روبش  $10 \text{ mV/s}$ ، تغییر می‌کند و جریان تولیدی بر حسب ولتاژ رسم می‌شود. هرچه جریان در بیشینه پیک، بالاتر باشد عملکرد کاتالیست بهتر خواهد بود. آزمایش LSV در حالت دینامیک الکترود کار انجام می‌شود. به این صورت که، همزمان با دمیدهشدن گاز اکسیژن به داخل محلول الکتروولت، الکترود کار با یک الکتروموتور می‌چرخد. در آزمایش LSV، آزمون حساسیت بر سرعت چرخش الکترود کار اعمال می‌شود. در این پژوهش، گستره سرعت از  $500$  تا  $2500 \text{ RPM}$  است. از آنجایی که، با افزایش سرعت چرخش الکترود کار، مقاومت انتقال جرم اکسیژن کاهش می‌یابد و اکسیژن بیشتری بر سطح الکترود کار قرار می‌گیرد، چگالی جریان تولیدی افزایش می‌یابد. شاخصی که در این آزمایش بسیار مهم است، پتانسیل آغاز<sup>۲</sup> است. این پتانسیل نشان‌دهنده این است که واکنش کاهش اکسیژن در چه ولتاژی آغاز می‌شود.

1. Scan rate

2. Onset potential

3. Electron transferred number

4. Koutecky-Levich (KL)



شکل ۱ الگوی XRD برای الکتروکاتالیست‌های تهیه شده

در الگوی نمونه کاهاش یافته، پیک مربوط به (۰۰۱) که مشخصه اصلی گرافن اکسید است، حذف شده است. در واقع می‌توان نتیجه گرفت که عوامل اکسیژن دار که در فرایند اکسایش گرافن شکل گرفته بودند، از بین رفته‌اند. همچنین، می‌توان مشاهده کرد که پیک مربوط به (۰۰۲) در  $2\theta = 25^\circ$  برابر با  $2\theta = 0^\circ$  مشاهده شده است. این پیک مربوط به مواد کربنی است و می‌توان نتیجه گرفت که فرایند کاهاش گرافن اکسید با هدف حذف عوامل اکسیژن دار، به طور کامل انجام شده است. این پیک نسبت به پیک مربوط به گرافن اکسید، پهن‌تر است. در ضمن، فاصله بین لایه‌ای  $0.33 \text{ nm}$  است که نشان می‌دهد، صفحه‌ها به هم نزدیک‌تر شده‌اند. برپایه پژوهش‌های صورت گرفته، پیک مربوط به شکل‌گیری ساختار MOF در زوایای  $2\theta = 10^\circ$  نمایان می‌شود. همان‌طور که مشخص است دو پیک اصلی ساختار MOF در الگوهای XRD نمونه‌های حاوی MOF، دیده می‌شود که ناشی از جذب سطحی MOF بر سطح گرافن اکسید و گرافن اکسید کاهاش یافته است. از طرفی به دلیل جذب سطحی MOF برق‌صفحه‌های گرافن، پیک مربوط به GO و NS-RGO باشد. بسیار کمی قابل مشاهده است. پس از تتفکفت، ساختار بلوری MOF با حذف تعدادی از لیگاند‌ها از بین رفته است. ریخت‌شناسی الکتروکاتالیست‌های تهیه شده با تصاویر میکروسکوپ الکترونی پویشی آن‌ها انجام شد. شکل ۲ تصاویر

الکترون منتقل شده (n) با معادله‌های ۱ تا ۴ محاسبه می‌شود [۲۲].

$$\frac{1}{J} = \frac{1}{J_K} + \frac{1}{B \omega^{0.5}} \quad (1)$$

$$\frac{1}{J} = \frac{1}{J_K} + \frac{1}{0.62 n F C_0 (D_0)^3} \nu^{\frac{1}{6}} \omega^{0.5} \quad (2)$$

$$\omega = 2\pi N \quad (3)$$

$$B = 0.62 n F C_0 (D_0)^{\frac{3}{2}} \nu^{-\frac{1}{6}} \quad (4)$$

در این معادله‌ها،  $J$  (mA/cm<sup>2</sup>) چگالی جریان اندازه‌گیری شده،  $J_K$  (mA/cm<sup>2</sup>) جریان در گستره سیستمیکی،  $N$  (RPM) سرعت خطی دیسک چرخان،  $F$  ثابت فارادی (۹۶۴۸۵)،  $n$  تعداد الکترون‌های منتقل شده،  $\nu$  (rad/s) سرعت زاویه‌ای دیسک چرخان و  $D_0$  (cm<sup>2</sup>.s<sup>-1</sup>) گران‌روی سینماتیکی الکتروولیت (۰.۰۱ cm<sup>2</sup>.s<sup>-1</sup>)، هستند. در محلول  $0.1 \text{ mol/l KOH}$  و  $D_0 = 1.2 \times 10^{-3} \text{ mol/l}$  است. همچنین، در محلول  $0.5 \text{ mol/l H}_2\text{SO}_4$  و  $D_0 = 1.9 \times 10^{-5} \text{ mol/l}$  به ترتیب برابر با  $0.16 \times 10^{-3} \text{ cm}^2/\text{s}$  و  $1.1 \times 10^{-5} \text{ cm}^2/\text{s}$  است.

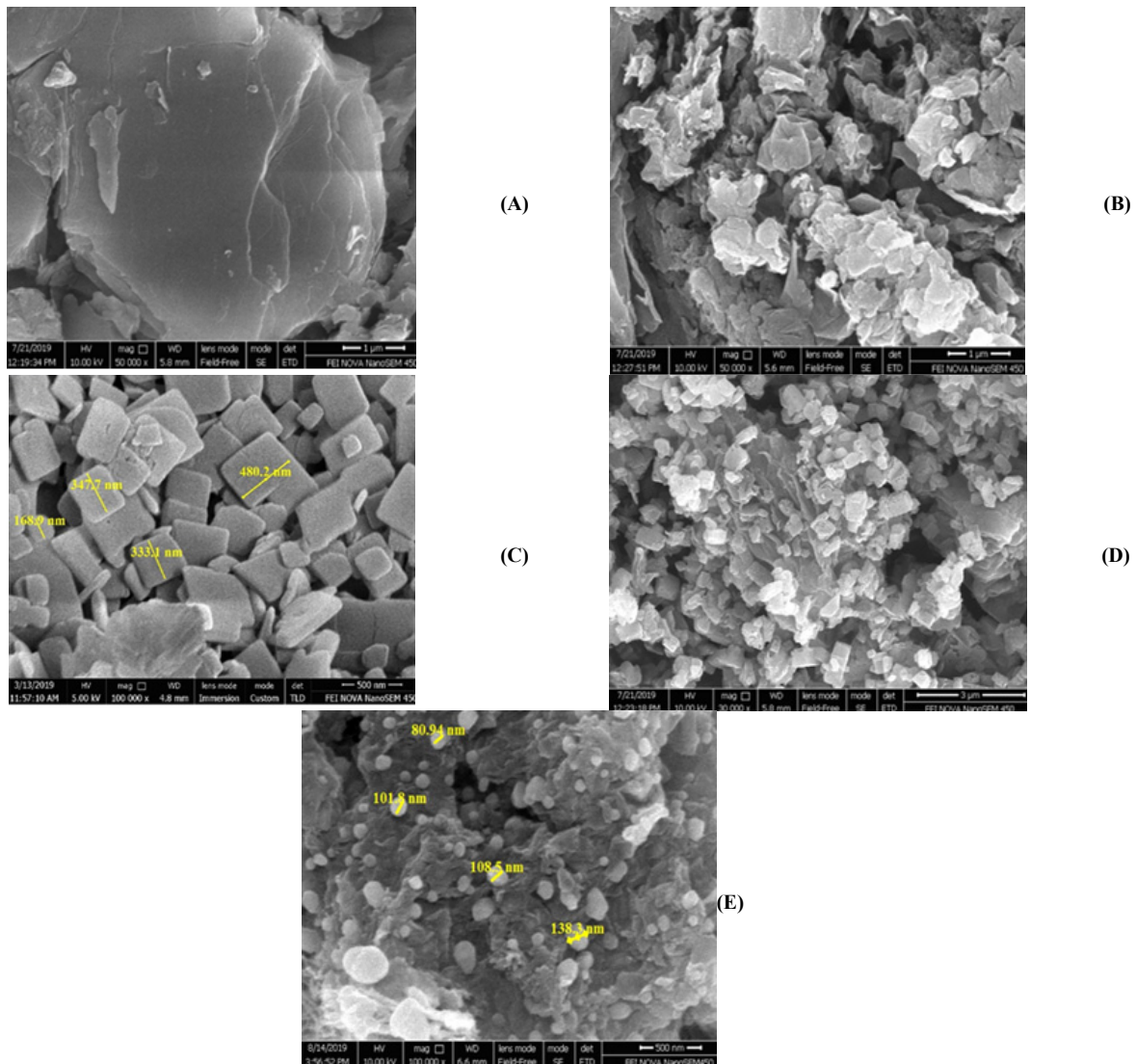
## نتیجه‌ها و بحث

### آزمایش‌های فیزیکی

برای بررسی ساختار کاتالیست‌ها، آزمون XRD در گستره  $2\theta$  از  $0$  تا  $100^\circ$  درجه صورت گرفت. شکل ۱ الگوهای XRD الکتروکاتالیست‌های تهیه شده را نمایش می‌دهد. همان‌طور که مشخص است، پیک (۰۰۱) در  $2\theta = 11^\circ$  برپایه پژوهش‌های پیشین، مربوط به گرافن اکسید است و می‌توان ادعا کرد که گرافن اکسید، با روش اصلاح‌شده هامر، تهیه شده است. با توجه به این پیک فاصله بین لایه‌ای برای صفحه‌های گرافن اکسید  $0.72 \text{ nm}$  است.

کرده‌اند. همچنین، مشخص شد که ساختار این الکتروکاتالیست در گستره نانومتر قرار گرفته است. با افزایش درصد وزنی-NS-MOF‌های بیشتری بر صفحه‌های آن جذب شده‌اند. پس از تفکفت، با حذف ساختار بلوری و لیگاندهای آلی، جذب سطحی MOF بر گرافن اکسید کاهش یافته بهتر انجام شده و ساختار ثابت گشته است. در واقع با تفکفت به دلیل ایجاد تعدادی پیوندهای دوگانه و سه گانه، رسانایی الکتروکاتالیست بهبود می‌یابد. همچنین، می‌توان مشاهده کرد که، اندازه ذره‌ها در گستره FTIR نانومتر قرار دارند. شکل ۳ طیف‌های FTIR برای گرافن اکسید، گروه‌های متفاوت عملکردی اکسیژن را نشان می‌دهد. یک نوار شدید در  $3410\text{ cm}^{-1}$  مربوط به گروه هیدروکسیل (O-H) است. نوار بسیار ضعیفی در  $2920\text{ cm}^{-1}$  مربوط به ارتعاش کششی C-H است. همچنین، عملکرد ارتعاش کششی گروه کربنیل (C=O) در  $1820\text{ cm}^{-1}$  ظاهر می‌شود. نوار جذب در  $1618\text{ cm}^{-1}$  متعلق به حضور C-C است. نوار دیگری در  $1381\text{ cm}^{-1}$  به ارتعاش خمی کربوکسیل (C-OH) اشاره دارد. نوار نزدیک به  $1071\text{ cm}^{-1}$  مربوط به گروه آلوکوکسی (C-O) است. همان‌طور که مشاهده می‌شود، شدت نوارهای مرتبط با گروه‌های O-H و کربنیل در طیف NS-RGO نسبت به طیف GO بدهلت حذف گروه‌های عملکردی اکسیژن، کمتر شده است [۳۸]. همچنین، یک نوار جدید در  $1206\text{ cm}^{-1}$  نمایان است که مربوط به ارتعاش کششی C-N است. می‌توان نتیجه گرفت که اکاهش GO به درستی انجام شده است. برپایه طیف FTIR نمونه Cu-MOF، نوار پهن در  $3434/04\text{ cm}^{-1}$  همراه با ارتعاش کششی O-H است. همچنین، نوار  $3931\text{ cm}^{-1}$  به ارتعاش کششی متقارن O-H نسبت داده می‌شود. نوار  $1675/51\text{ cm}^{-1}$  مربوط به ارتعاش C=O از COOH است. نوار دیگر در گستره  $1400\text{ cm}^{-1}$  تا  $1612\text{ cm}^{-1}$  متعلق به کشش حلقه فنیل C=C است.

SEM مربوط به الکتروکاتالیست‌های تهیه شده را نمایش می‌دهد. برپایه این تصاویر، صفحه‌های گرافن اکسید به درستی شکل گرفته و ساختار یکنواختی دارند. ساختار گرافن اکسید یافته همانند گرافن اکسید به صورت ورقه‌ای است. در الکتروکاتالیست NS-RGO، به دلیل انجام عملیات گرمایی بازروانی در دمای بالا ( $180^{\circ}\text{C}$ ) و فراصوت که موجب همگن شدن محلول می‌شود، صفحه‌ها کوچک‌تر و به یگدیگر نزدیک‌تر شده‌اند. همچنین، عوامل نیتروژن دار و گوگرددار جایگزین کربن‌هایی با عوامل اکسیژن دار شده‌اند. برهم‌کش بین صفحه‌ها افزایش پیداکرده و صفحه‌ها به هم نزدیک شده‌اند که این را می‌توان به عنوان تفاوت پایه‌ای بین دو ساختار الکتروکاتالیست‌های GO و NS-RGO به بیان کرد. همچنین، می‌توان دید که، صفحه‌های NS-RGO به صورت یکنواخت شکل گرفته‌اند. ساختار چارچوب فلزی آلی به درستی شکل گرفته و حالت بلوری مربعی و یکنواخت دارد. همچنین، اندازه صفحه‌های چارچوب فلزی آلی در گستره نانومتر قرار دارد. برپایه تصاویر گرفته شده، صفحه‌های MOF به خوبی بر صفحه‌های گرافن اکسید تشکیل شده و پیوند برقرار کرده‌اند (شکل E). همچنین، توزیع صفحه‌های MOF بر صفحه‌های گرافن اکسید، به صورت یکنواخت صورت گرفته است. در مقایسه با تصاویر SEM الکتروکاتالیست MOF ۶٪ می‌توان مشاهده کرد که صفحه‌های MOF بیشتری بر پایه کربنی NS-RGO پیوند برقرار کرده‌اند. دلیل این اتفاق حضور اتم‌های گوگرد و نیتروژن می‌باشد که، که مانند لنگرگاهی عمل می‌کنند که منجر به اتصال قوی پیوند توده‌های فلزی به سطح صفحه‌های کربن می‌شود. یون‌های فلزی با سهولت بیشتری، جذب نقاط با بار منفی بیشتری می‌شوند. الکترونگاتیوی گوگرد و نیتروژن از کربن بیشتر است در نتیجه موجب ایجاد جز بار منفی می‌شود و یون‌های فلزی  $\text{Cu}^{2+}$  را به سمت خود می‌کشند. پس از جذب یون‌های فلزی، صفحه‌های MOF، بر سطح گرافن اکسید کاهش یافته شکل می‌گیرند. به همین دلیل، عوامل نیتروژن دار و گوگرد دار با ایجاد بارهای منفی، با بار مثبت فلزات MOF پیوند خوبی برقرار



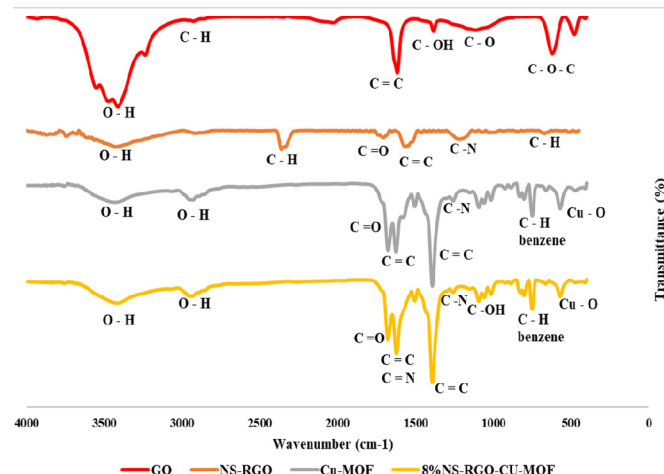
شکل ۲ تصاویر SEM مربوط به الکتروکاتالیست‌های تهییشده (A) GO و (B) NS-RGO و (C) Cu-MOF و (D) Cu-MOF و (E) NS-RGO-Cu-MOF

ارتعاش کشنی  $O-H$  ( $33334/04 \text{ cm}^{-1}$ ) افزایش و شدت نوار مربوط به  $C=O$  کاهش می‌یابد. همچنین، مکان این نوار از  $16781/5 \text{ cm}^{-1}$  به  $1626 \text{ cm}^{-1}$  دلیل از بین رفتن پروتون‌ها توسط دو گروه  $C=O$  است [۴۴]. همچنین، نوار  $1059/71 \text{ cm}^{-1}$  متعلق به کشنی پیوند  $C-OH$  است. نوار جدید که حاکی از وجود GO است، در  $1400 \text{ cm}^{-1}$

نوار  $1267 \text{ cm}^{-1}$  مربوط به کشنی  $C-N$  است. ارتعاش حلقه بنزن  $C-H$  در  $752 \text{ cm}^{-1}$  ظاهر می‌شود. نوارهای  $620$  و  $580 \text{ cm}^{-1}$  مربوط به ارتعاش کشنی مس - اکسیژن ( $N-Cu (Cu_2O)$ ) و نوار  $472/71 \text{ cm}^{-1}$  مربوط به  $[N-Cu (Cu_2O)]$ . طیف FTIR نمونه NS-RGO-Cu-MOF % ۸ نشان می‌دهد که با هیبریدشدن GO و مس- MOF، شدت نوار مرتبط با

گروههای عملکردی اکسیژن کاهش می‌یابد.

<sup>۱</sup> ۵۹۰ ظاهر می‌شود. همچنین، شدت نوار مربوط C افزایش می‌پابد. با ترکیب NS-RGO به جای GO، شدت

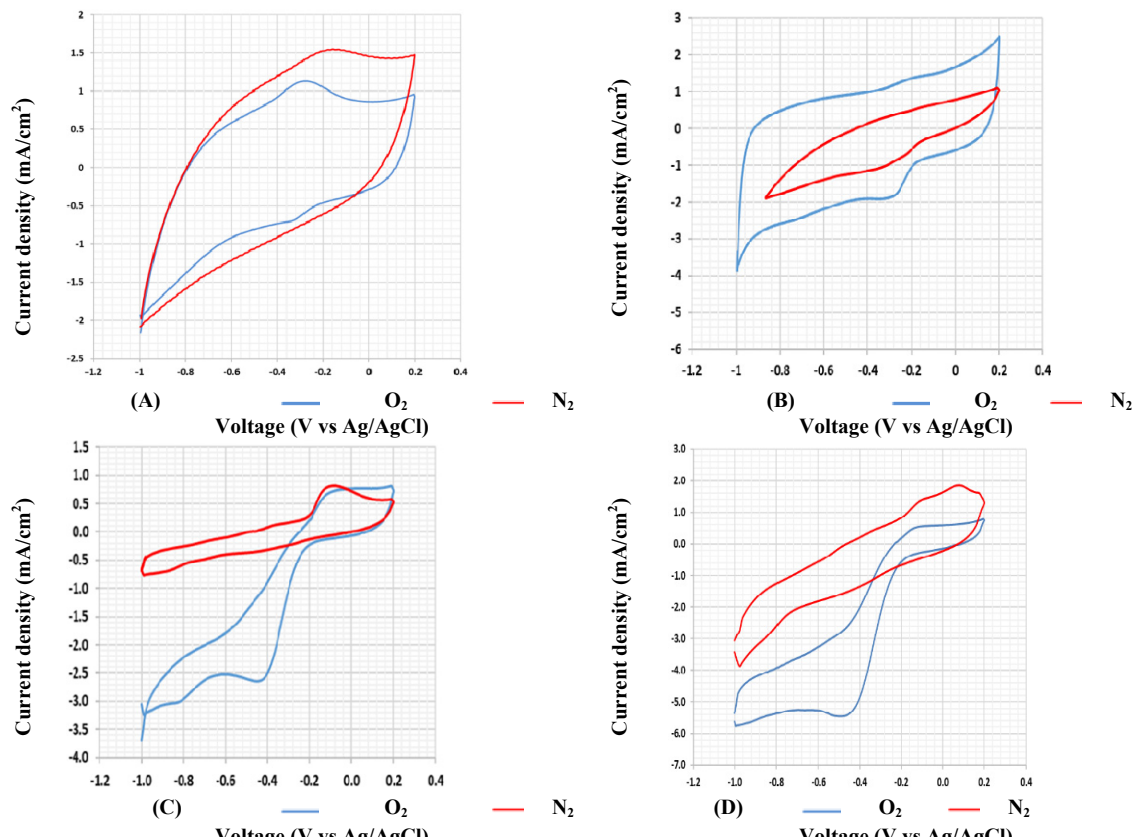


شکا، ۳ نتیجه‌های آزمون FTIR برای الکتروکاتالیست‌های تهیه شده

سینیتیک و فعالیت الکتروشیمیایی پودر کاتالیست نهایی شده است. شکل ۵ نتایج آزمایش LSV برای الکتروکاتالیست‌های ستر شده،  $20\text{ Pt/C}$ ٪ مقایسه بین آن‌ها را نمایش می‌دهد. در همه آزمایش‌ها، با افزایش سرعت چرخش الکترود کار، به دلیل کاهش مقاومت انتقال جرم اکسیژن و تجمع اکسیژن بیشتر بر سطح الکتروکاتالیست، چگالی جریان تولیدی افزایش یافته است. پتانسیل آغاز نیز که نشان‌دهنده شروع واکنش ORR است و معیاری برای سنجش سینیتیک الکتروکاتالیست، ارزیابی شد. همان‌طور که در جدول ۱ مشخص است، کاهش گرافن اکسید موجب پهلوود سینیتیک واکنش می‌شود و پتانسیل آغاز از  $-0.16\text{ V}$  به  $-0.1\text{ V}$  در انتقال پیدا کرده است. همچنین، کربن‌دارکردن Cu-MOF با GO و NS-RGO سبب پهلوود چشمگیر عملکرد الکتروکاتالیست شده است. پتانسیل آغاز الکتروکاتالیست NS-RGO-Cu-MOF  $8\text{ \%}$  در حدود  $-0.67\text{ V}$  است که به الکتروکاتالیست تجاری پلاتین با بتانسیا، آغاز دارد حدود صفر، سیما، تندیک است.

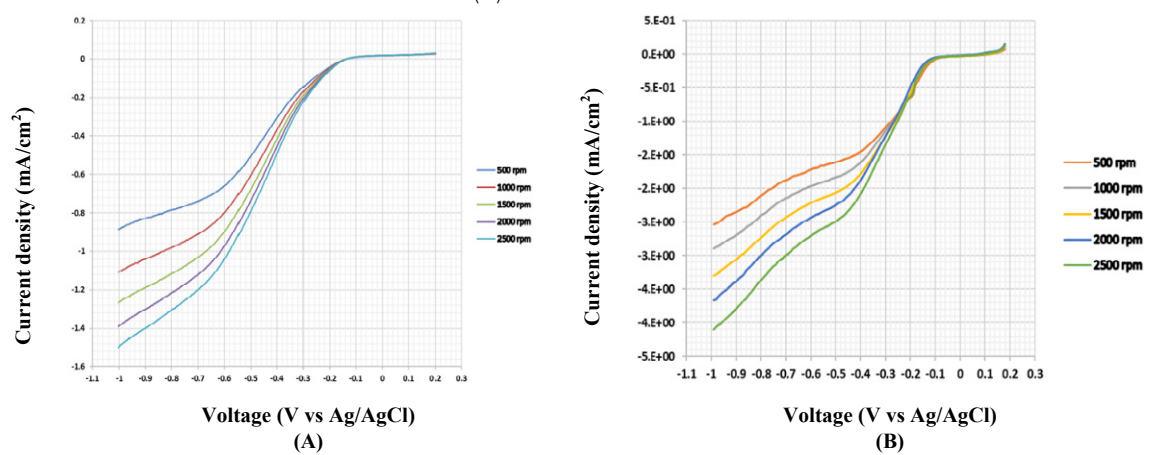
آزموزهای الکتروشیمیایی

شکل ۴ نتیجه‌های به دست آمده از آزمون CV برای الکتروکاتالیست‌های تهیه شده را ارایه می‌دهد. همه الکتروکاتالیست‌ها در حضور نیتروژن فاقد پیکی هستند که نشان دهنده وقوع واکنش الکتروشیمیایی باشد، در نتیجه خاصیت انتهاب پذیری مطلوبی دارند. با اجای گرافن اکسید، شدت پیک واکنش ORR افزایش یافته و به مقادیر مثبت‌تر منتقل شده است، که نشان می‌دهد فعالیت الکتروشیمیایی الکتروکاتالیست بهبود یافته است. همچنین، با کربن دار کردن Cu – MOF، فعالیت الکتروشیمیایی و سینیتیک ارتقا یافته است. ترکیب ۸٪ وزنی گرافن اکسید عامل‌دار شده موجب انتقال پیک واکنش ORR به ولتاژ  $-0.8$  ولت شده است. چگالی جریان در ولتاژ مربوط به واکنش ORR  $\text{mA/cm}^2$  -۳/۵ است. در واقع می‌توان نتیجه گرفت که ترکیب RGO با حارجوب فلزی، آل، مس، سب افاس، حشمگیر

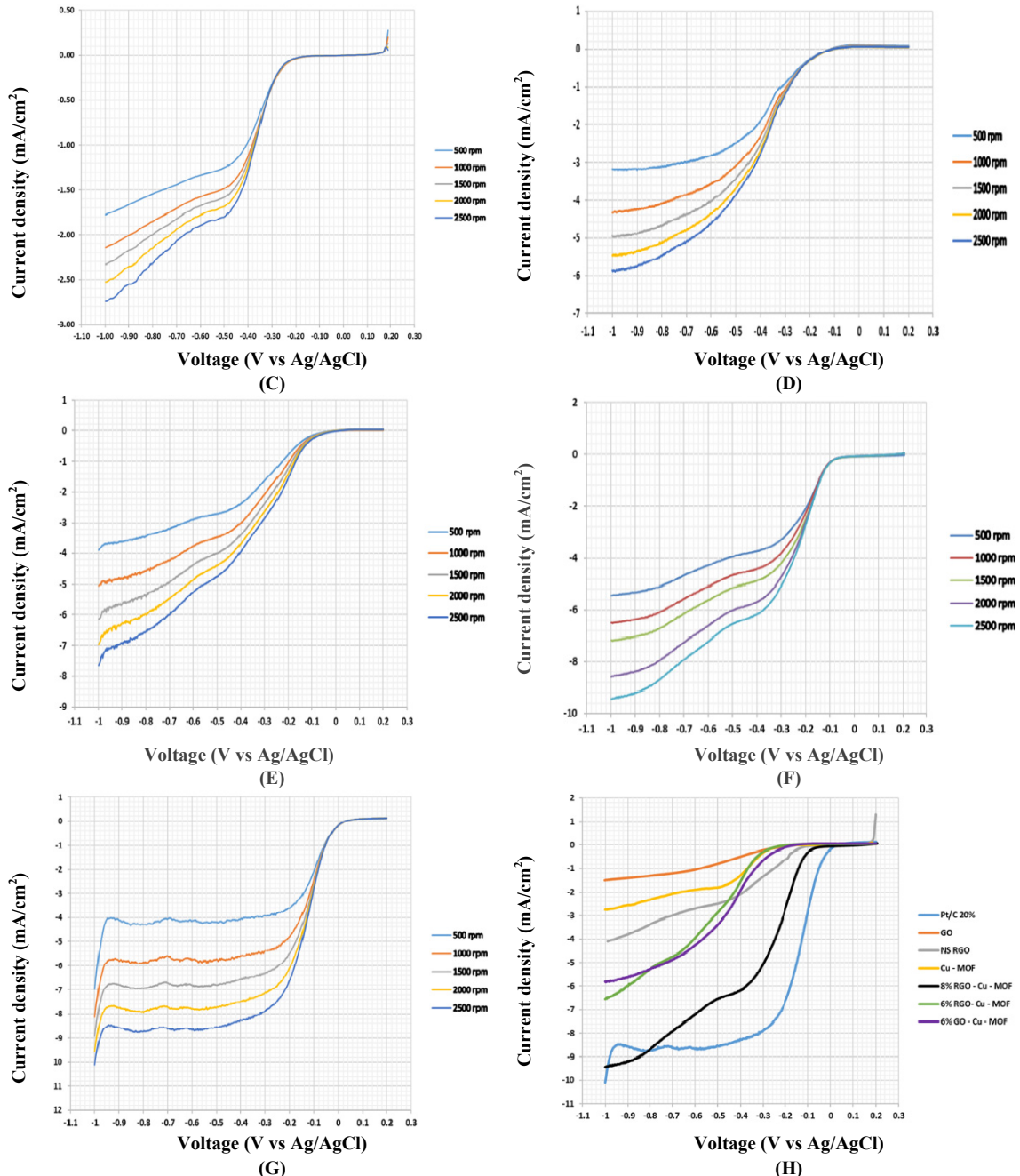


شکل ۴ نتیجه‌های به دست آمده از آزمون LSV برای الکتروکاتالیست‌های تهیه شده (A) GO و (C) Cu-MOF، (B) NS-RGO، (D) %6 GO-Cu-MOF

(E) مقایسه سرعت



شکل ۵ نتیجه‌های به دست آمده از آزمون LSV برای الکتروکاتالیست‌های تهیه شده (A) GO و (C) Cu-MOF، (B) NS-RGO، (D) %6 Ns-RGO-Cu-MOF، (E) %6 GO-Cu-MOF و مقایسه سرعت کاتالیست‌ها در ۲۵۰۰ دور در دقیقه (H)



ادامه شکل ۵ نتایج‌های بدست آمده از آزمون LSV برای الکتروکاتالیست‌های تهیه شده (A) GO (B) NS RGO (C) Cu-MOF (D) GO - Cu-MOF مقایسه سرعت کاتالیستها (E) % ۶ Ns-RGO-Cu-MOF (F) % ۶ Pt/C (G) % ۲۰ NS-RGO-Cu-MOF (H) % ۶ ۸% RGO-Cu-MOF (I) % ۶ GO-Cu-MOF در ۲۵۰۰ دور در دقیقه

جدول ۱ مقایسه پتانسیل آغاز الکتروکاتالیست‌های

تهیه شده و تجاری % ۲۰ Pt/C

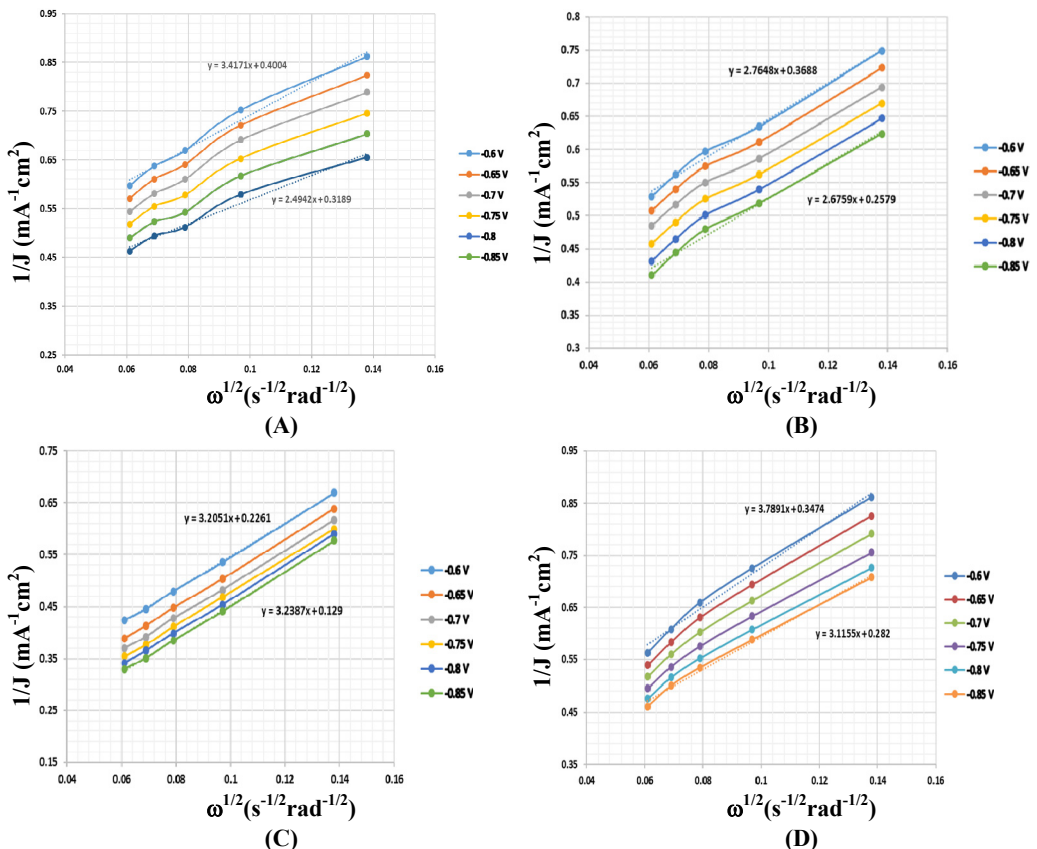
جدول ۲ مقایسه تعداد الکترون منتقل شده (n) با الکتروکاتالیست‌های  
تهیه شده و الکتروکاتالیست تجاری % ۲۰ Pt/C در ولتاژ V -۰.۶

میزان الکترون منتقل شده (n)	نام الکتروکاتالیست
۲.۶۴	GO
۳.۱۴	NS - RGO
۲.۵۴	Cu - MOF
۲.۹۴	% ۶ GO-Cu- MOF
۳.۵۳	% ۸ NS - RGO-Cu- MOF
۳.۷۸	% ۲۰ Pt/C

پتانسیل آغاز (V vs Ag/AgCl)	نام الکتروکاتالیست
-0.16	GO
-0.1	NS - RGO
-0.22	Cu - MOF
-0.11	% ۶ GO - Cu- MOF
-0.06	% ۸ NS - RGO - Cu- MOF
صفر	% ۲۰ Pt/C

براییه آزمون‌های انجام شده، عملیات نف کافت تاثیر چشمگیری بر بهبود فعالیت الکتروشیمیای الکتروکاتالیست NS-RGO داشته است. در حقیقت، اتم‌های نیتروژن و گوگرد به‌دلیل بالاتر بودن الکترون‌کشانی آن‌ها نسبت به اتم‌های کربن، توزیع بار الکتریکی بالاتری دارند و موجب جذب مولکول‌های اکسیژن بیشتری می‌شوند. n برای الکتروکاتالیست Cu-MOF برابر با ۲.۵۴ است. اگرچه چارچوب‌های فلزی آلی به‌دلیل چگالی سطح بالا و ساختار متخلخل، جاذب‌های بسیار مناسبی هستند، ولی به‌دلیل پایین بودن قدرت انتقال الکترون، آن‌ها بالا نیست. با ترکیب MOF‌ها با مواد پایه کربنی، رسانش الکتریکی و در نتیجه سینیتیک آن‌ها به‌طور زیادی افزایش می‌یابد. با ترکیب GO % ۶ و NS-RGO % ۸ تعداد الکترون منتقل شده به ترتیب به ۲.۹۴ و ۳.۵۳ افزایش می‌یابد.

تعداد الکترون منتقل شده با هر کدام از الکتروکاتالیست‌های تهیه شده با استفاده از معادله‌های ۱ تا ۴ که در بخش روش پژوهش شرح داده شد، محاسبه می‌شود. نتایج بررسی تعداد الکtron منتقل شده (n) با الکتروکاتالیست‌های تهیه شده در شکل ۶ نشان داده شده است. تهداد الکترون منتقل شده با الکتروکاتالیست‌های تهیه شده و الکتروکاتالیست تجاری % ۲۰ Pt/C % در جدول ۲ به‌طور خلاصه بیان شده است. همان‌طور که مشاهده می‌شود، تعداد n برای GO در حدود ۲.۶۴ است. می‌توان نتیجه گرفت که الکتروکاتالیست GO تمایل به مسیر دو الکترونی برای واکنش ORR دارد و دلیل این اتفاق، خنثی بودن سطح این الکتروکاتالیست است. با عامل دارکردن گرافن اکسید با گوگرد و نیتروژن و همچین، کاهش هم‌زمان آن، رسانش الکتریکی و سینیتک الکتروکاتالیست، به‌طور زیادی بهبود پیدا کرده و n به ۳.۱۴ به ۳.۷۸ افزایش یافته است.

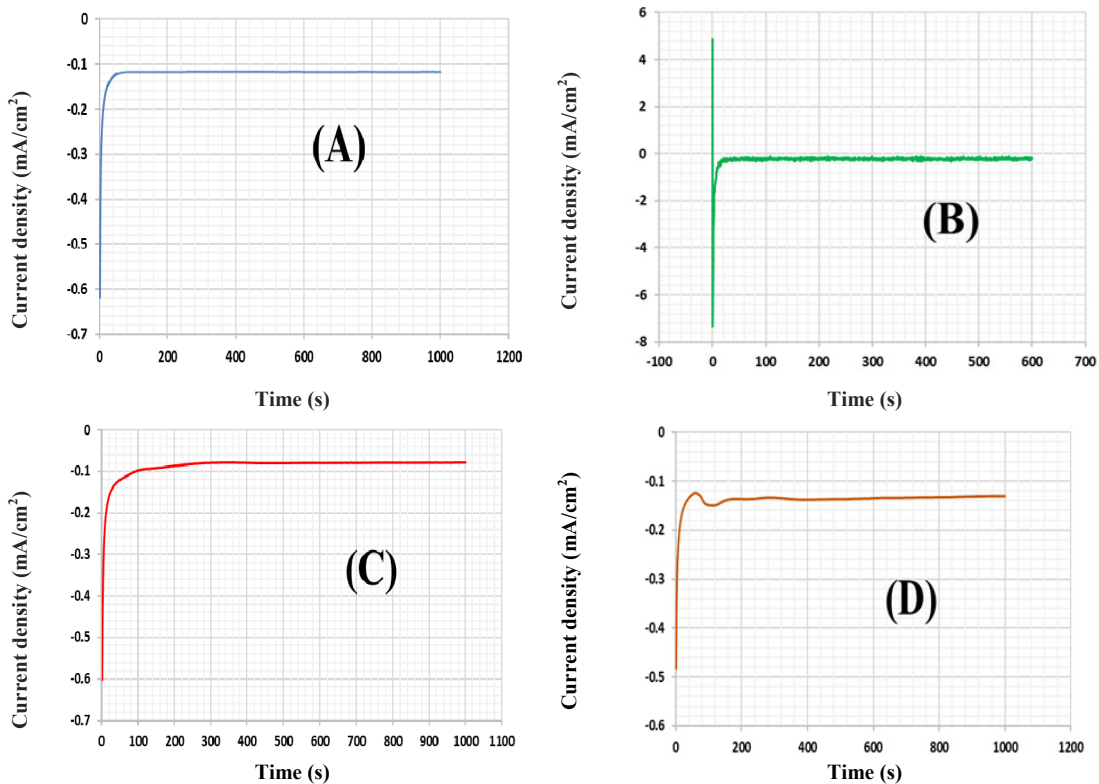


شکل ۶ نتایج های بدست آمده از بررسی الکترون های منتقل شده (n) با الکترو کاتالیست های تهیه شده (n) (B) Cu – MOF، (A) NS RGO، (D) % ۸ Ns- RGO-Cu- MOF و (C) % ۶ GO - Cu- MOF

همان طور که در توضیح آزمون آمپر زمان سنجی در بخش تجربی ذکر شد، برای بررسی پایداری کاتالیست در بخش کاتد یا بخش آند، از آزمایش آمپر زمان سنجی استفاده شد. در این پژوهش، با اعمال ولتاژ ثابت  $V = 0.5/0.5$  و در مدت زمان ۱۰۰۰ ثانیه، نمودار چگالی جریان به عنوان تابعی از زمان رسم و پایداری الکترو کاتالیست های تهیه شده بررسی شد.

شکل ۷ نتایج های بدست آمده از آزمون آمپر زمان سنجی برای ۴ الکترو کاتالیست تهیه شده را نمایش می دهد. در میان الکترو کاتالیست های تهیه شده، NS-RGO کاتالیست بهتر است. همچنین، الکترو کاتالیست های با بهترین زمان رسیدن پایداری را داشت (۲۰ ثانیه).

عملکرد و فعالیت Cu - MOF به طور قابل توجهی بهبود یافته است.



شکل ۷ نتیجه‌های بدست آمده از آزمون آمپرسانستجی برای بررسی پایداری الکتروکاتالیست‌های تهیه شده: (A) GO، (B) NS-RGO، (C) MOF و (D) % ۶ GO-Cu- MOF

جدول ۳ مقایسه پتانسیل آغاز بین الکتروکاتالیست این پژوهش و پژوهش‌های گذشته

نام الکتروکاتالیست	پتانسیل آغاز (V vs. Ag/AgCl)	نویسنده	مرجع
% ۶ NS-RGO-Cu-MOF	-0.16	-	پژوهش حاضر
Fe-BTC	-0.12	Song, Guoqiang, et al.	[11]
(Fe/Co)-BTC	-0.13	Wang, Hao, et al.	[13]
Cu <sub>2</sub> (TMBDI)(H <sub>2</sub> O) <sub>2</sub>	-0.13	Jiang, Min, et al.	[23]
Co-Oxybis (benzoic acid)	-0.197	Fan, Tianyu, et al.	[12]
Co/MIL - 101(Cr) - O	-0.12	Xiaobo He et al.	[24]
Co/MIL - 101(Cr)	-0.18	Xiaobo He et al.	[24]

همچنین، الکتروکاتالیست‌های تهیه شده از ویژگی گزینش‌پذیری خوبی برخوردار بودند.

- برپایه آزمون‌های LSV، با افزایش سرعت چرخش الکترود کار، چگالی جریان تولیدی افزایش یافت.
- الکتروکاتالیست NS-RGO-Cu-MOF ۸٪ بهترین عملکرد الکتروشیمیایی را داشت. همچنین، پتانسیل آغاز این الکتروکاتالیست V<sub>0.06</sub> به دست آمد که عملکرد نزدیکی به الکتروکاتالیست تجاری پلاتین داشت.
- با ترکیب درصدهای وزنی متفاوت GO و NS-RGO با Cu-MOF، تعداد الکترون منتقل شده (n) بالای سه به دست آمد. بهبیانی دیگر، رسانش الکتریکی چارچوب ORR فنری آلی باکربن دارکردن افزایش یافت و واکنش ORR به مسیر چهار الکترونی تمايل داشت.
- با ترکیب ۸٪ وزنی NS-RGO با Cu-MOF الکترون‌های منتقل شده (n) ۳۹٪ افزایش یافت و به ۳۵٪ رسید که نشان‌دهنده نزدیکی‌شدن واکنش کاهش اکسیژن به مسیر چهار الکترونی بود.
- آزمون آمپرزمان‌سنجد نشان داد که الکتروکاتالیست‌های تهیه شده از پایداری مناسبی در شرایط عملیاتی برخوردار بودند.

### سپاسگزاری

نویسنده‌گان این مقاله از دانشکده علوم و فنون نوین دانشگاه تهران که پژوهشگران را در انجام این پژوهش کاربردی یاری کردند، کمال سپاسگزاری و قدردانی را دارند.

[1] Hemmatabady, H.; Mehrpooya, M.; Mousavi, S.A.; Journal of Thermal Analysis and Calorimetry 142, 1-19, 2020.

سال پانزدهم، شماره ۱، بهار ۱۴۰۰

نتیجه‌گیری

در این پژوهش، ۵ الکتروکاتالیست GO، NS-RGO، NS-RGO-MOF، Cu-MOF ۶٪ و GO-Cu-MOF ۸٪ با روش‌های آب‌گرمایی تهیه شدند. برای بررسی ساختار و فعالیت شیمیایی الکتروکاتالیست‌های تهیه شده، روش‌های XRD، SEM و FTIR و آزمون‌های الکتروشیمیایی شامل CV، LSV و آمپرزمان‌سنجدی به کار گرفته شدند. فعالیت الکتروشیمیایی نمونه‌های تهیه شده با الکتروکاتالیست تجاری Pt/C ۲۰٪ مورد مقایسه قرار گرفتند. مهم‌ترین نتایج این پژوهش به شرح زیر است:

- گرافن اکسید موجب افزایش مقاومت مکانیکی و گرمایی و سطح ویژه، نسبت به گرافیت شد.
- فرایند کاهش گرافن اکسید با عامل دارکردن عامل‌های نیتروژن و گوگرد با تیبوره، موجب افزایش چشمگیر رسانایی و فعالیت الکتروکاتالیست شد.
- برپایه الگوهای XRD، کاهش گرافن اکسید به درستی انجام شد. همچنین، صفحه‌ها ریزتر و بهم نزدیکتر شدند.
- عامل دارکردن نیتروژن و گوگرد با روش گرمایی، موجب ایجاد حفرات و بهم ریختن ساختار اولیه گرافن با ایجاد شکستگی در صفحه‌ها شد.
- تصویرهای SEM نشان دادند که الکتروکاتالیست‌های تهیه شده در گستره نانومتر قرار داشتند. همچنین، با کاهش گرافن اکسید و حذف عوامل اکسیژن‌دار، ذره‌های MOF بیشتری بر سطح گرافن جذب شدند.
- برپایه آزمون‌های CV، در همه الکتروکاتالیست‌ها در حضور گاز اکسیژن، واکنش کاهش اکسیژن رخ داد.

### مراجع

[2] Mehrpooya, M.; Valizadeh, F.; Askarimoghadam, R.; Sadeghi, S.; Pourfayaz,

نشریه پژوهش‌های کاربردی در شیمی (JARC)

- F.; Mousavi, S.A. The European Physical Journal Plus 135 (7), 1-17, 2020.
- [3] Mousavi, S.A.; Mehrpooya, M.; Energy 2021, 214, 119053
- [4] Ghorbani, B.; Mehrpooya, M.; Mousavi, S.A., Journal of Cleaner Production 220, 1039-1051, 2019.
- [5] Fakhari, I.; Behzadi, A.; Gholamian, E.; Ahmadi, P.; Arabkoohsar, A., Journal of Cleaner Production 290, 125205, 2020.
- [6] Wang, H.G.; Wu, Z.; Meng, F.L.; Ma, D.L.; Huang, X.L.; Wang, L.M.; Zhang, X.B.; Chemistry Europe 6(1), 56-60, 2013.
- [7] Sun, H.; Su, H.; Ma, X.; Zhang, P.; Zhang, X.; Dai, X.; Gao, J.; Chen, C.; Sun, S.G.; Electrochimica Acta. 205, 53-61, 2016.
- [8] Furukawa, H.; Cordova, K.E.; O'Keeffe, M.; Yaghi, O.M.; Science 341(6149), 1230444, 2013.
- [9] Ma, S.; Goenaga, G.A.; Call, A.V.; Liu, D. J.; Chemistry-A European Journal 17(7), 2063-2067, 2011.
- [10] Proietti, E.; Jaouen, F.; Lefèvre, M.; Larouche, N.; Tian, J.; Herranz, J.; Dodelet, J.P. J. N. C., Nature Communications 2, 416-426, 2011.
- [11] Song, G.; Wang, Z.; Wang, L.; Li, G.; Huang, M.; Yin, F.; Chinese Journal of Catalysis 35(2), 185-195, 2014.
- [12] Fan, T.; Yin, F.; Wang, H.; He, X.; Li, G., International Journal of Hydrogen Energy 2017, 42(27), 17376-17385.
- [13] Wang, H.; Yin, F.; Li, G.; Chen, B.; Wang, Z.; International Journal of Hydrogen Energy 39(28), 16179-16186, 2014.
- [14] Mao, J.; Yang, L.; Yu, P.; Wei, X.; Mao, L.; Electrocatalytic 19, 29-31, 2012.
- [15] Song, G.; Wang, Z.; Wang, L.; Li, G.; Huang, M.; Yin, F.J.; Chinese Journal of Catalysis 35(2), 185-195, 2014.
- [16] Barkholtz, H.M.; Liu, D.J.; Materials Horizons 4(1), 20-37, 2017.
- [17] Jaouen, F.; Dodelet, J.P.; Electrochimica Acta 52(19), 5975-5984, 2007.
- [18] Xia, W.; Zhu, J.; Guo, W.; An, L.; Xia, D.; Zou, R.J.; Journal of Materials Chemistry A. 2(30), 11606-11613, 2014.
- [19] Ding, S.; Zheng, S.; Xie, M.; Peng, L.; Guo, X.; Ding, W.; Microporous and Mesoporous Materials 142(2-3), 609-613, 2011.
- [20] Lin, Z.; Waller, G.H.; Liu, Y.; Liu, M.; Wong, C.P.; Nano Energy. 2013, 2 (2), 241-248.
- [21] Niu, L.; Li, Z.; Hong, W.; Sun, J.; Wang, Z.; Ma, L.; Wang, J.; Yang, S.; Electrochimica Acta. 108, 666-673, 2013.
- [22] Jiang, M.; Li, L.; Zhu, D.; Zhang, H.; Zhao, X., Journal of Materials Chemistry A 2(15), 5323-5329, 2014.
- [23] He, X.; Yin, F.; Li, G.A.; International Journal of Hydrogen Energy 40(31), 9713-9722, 2015.

**Evaluation of the influence of reduced graphene oxide (RGO) on improvement of Cu-MOF performance as electrocatalyst for oxygen reduction reaction in fuel cells****Seyed Ali Mousavi<sup>1</sup>, Mehdi Mehrpooya<sup>2,\*</sup>**

1. Ph.D. candidate of energy systems engineering, Renewable Energies and Environmental Department, Faculty of New Science and Technologies, University of Tehran, Tehran, Iran.
2. Associate Professor in Renewable Energies and Environmental Department, Faculty of New Science and Technologies, University of Tehran, Tehran, Iran.

**Abstract:** The main target of this investigation is to synthesize several non-metallic electrocatalysts with desirable performance and suitable price, for oxygen reduction reaction at cathode side. For this purpose, five electrocatalysts including graphene oxide (GO), nitrogen and sulfur doped graphene oxide (NS-RGO), copper metal organic framework (Cu-MOF), 6% GO-Cu-MOF, and 8% NS-RGO-Cu-MOF are synthesized by hydrothermal method. In continue, in order to investigate the structure, activity, performance of synthesized electro catalysts, physical and electrochemical tests are employed, and obtained results are compared to the commercial 20% Pt/C. According to the physical tests outcomes, the structure of the synthesized electrocatalysts is uniform, and the layering is correctly performed. Besides it was found that the size of electrocatalysts is about of nanometer. Based on the electrochemical tests, amongst the synthesized electrocatalysts, 8% NS-RGO-Cu-MOF has the best chemical activity. The onset potential of this catalyst is obtained by -0.06 V vs Ag/AgCl. Also, the peak associated with oxygen reduction reaction is shown in -0.08 V, which the current density in this voltage is -4.8 mA/cm<sup>2</sup>. Besides, the number of transferred electrons (n) for 8% NS - RGO - Cu- MOF is computed to be 3.53, which indicates the reaction occurs near to the 4 electron pathway. The onset potential of 6% GO-Cu-MOF is gained by -0.11 V vs Ag/AgCl.

**Keywords:** Fuel cell, Oxygen reduction reaction, Electrocatalyst, Metal organic framework, Non- metallic base.